

## 高分子 界面活性濟에 관한 研究(第4報)

—나트륨 알파술폰 脂肪酸 알릴에스테르 올리고머類의 界面活性—

李承烈 · 金珍顯 · 南基大

忠北大學校 工科大學 工業化學科

### Studies on the Polymeric Surfactants (IV)

— Surface Activities of Sodium  $\alpha$ -Sulfo Fatty Acid Allyl Ester Oligomers —

Lee, Seung-Yeoll · Kim, Jin-Heon · Nam, Ki-Dae

*Dept. of Industrial Chemistry, Chungbuk National University*

(Received Sep. 20, 1989)

### ABSTRACT

A series of four sodium  $\alpha$ -sulfo fatty acid allylester oligomers such as sodium  $\alpha$ -sulfo lauric acid allylester oligomer, sodium  $\alpha$ -sulfo myristic acid allyl ester oligomer, sodium  $\alpha$ -sulfo palmitic acid allyl ester oligomer and sodium  $\alpha$ -sulfo stearic acid allyl ester oligomer were examined for surface tension, deflocculation effect and emulsifying power.

Also critical micelle concentration (cmc) was evaluated. Consequently, these sodium allyl  $\alpha$ -sulfo aliphatic carboxylate oligomers show o/w type emulsifying agent and dispersion effect in 1g/100ml solution.

### I. 序論

界面活性劑는 오늘에 이르러서는 數千餘種에 이르고 그의 應用範圍도 매우 넓어서 相互界面이 存在하는 모든 產業分野에서 使用되고 있다. 더욱이 附加價值의 向上 및 製造工程의 合理化에 일익을 담당하고 오늘에 이르러서는 그 重要性이 더욱 增大되고 있다.<sup>1)</sup> 한편 界面活性劑의 組成도 低分子化合物로부터 텔로머, 올리고머 高分子界面活性劑, 바이오 界面活性劑, 실리콘系 界面活性劑 및 弗素系 界面活性劑等이 새로이 出現되고 있고 새로운 構造를 갖는 新素材가 많이 研究되고 있다.<sup>2)</sup>

특히 高分子界面活性劑는 界面活性能을 갖고 있는 官能基를 結合시킨 것을 始作<sup>3)</sup>으로 石油資源에 각종 共重合物<sup>4)</sup> 高分子天然物과 官能基를 갖는 것과 그ラ프트 重合物等 各種 올리고머, 合成高分子界面活性劑가 開發되어 그에 대한 應用研究도 많이 進行되어 각 產業分野에서 使用이 점차 增加되고 있다.<sup>5)</sup>

炭素數 12~18範圍의 高級脂肪酸 아릴系 올리고머에 新水性 官能基를 導入시킨  $\alpha$ -술폰 脂肪酸鹽 陰イ온性 高分子界面活性劑 즉 sodium  $\alpha$ -sulfo lauric acid allyl ester oligomer, sodium  $\alpha$ -sulfo myristic acid allyl ester oligomer, sodium  $\alpha$ -sulfo palmitic acid allyl ester oligomer 및 sodium  $\alpha$ -sulfo stearic acid allyl ester oligomer 等 4種

의 合成에 대한 것(第3報)에 發表하였고 本 研究에서는 이들에 대한 界面活性能을 試驗하였다. 즉 複合水溶液에서의 表面張力, 分散性 및 乳化力 等을 測定하여 比較検討하였다.

## II. 界面活性의 實驗

本 研究에서는 高分子界面活性劑에 관한 第3報의 方法으로 合成한 allyl  $\alpha$ -sulfo aliphatic carboxylate oligomer 類 5種에 대하여 이들의 나트륨 黃酸鹽 水溶液에 대한 表面張力, 分散能 및 乳化力等의 界面活性을 다음과 같은 方法으로 實驗하였다.

### II-1. 表面張力의 測定

알킬基의 碳素數 10~18範圍의 sodium allyl  $\alpha$ -sulfo aliphatic carboxylate oligomer 類의 表面張力은 Fisher surface tensiometer (Model 20) 를 使用하여 0.01~1.00(g/100ml)濃度範圍內에서 一定濃度의 水溶液에 대하여 ring method로 常溫(25°C)에서 각各 測定하였다.

이때 使用한 platinum-iridium合金고리는 測定에 앞서 벤젠, 아세톤, 크롬酸混液 그리고 물 順으로 잘 씻고 gas burner로 赤熱한 다음, 다시 물로 잘 씻어 乾燥하였다. 여기서 測定한 값은 다음式에 의하여 補正하였다.

$$S = P \times F$$

여기서 S는 表面張力의 참값이고 P는 걸보기값이다. 그리고 F는 다음 關係式으로부터 救한 補正因子이다.

$$F = 0.7250 + \frac{0.01452p}{C^2(D-d)} + 0.04534 - \frac{0.679r}{R}$$

여기서 R은 platinum-iridium고리의 半徑, r는 고리 wire의 半徑, P는 表面張力의 걸보기값, D는 水溶液의 密度, d는 油相의 密度 그리고 C는 고리의 길이이다.

이 測定結果는 Fig. 1에 圖示하였다.

### II-2. 分散能의 測定

分散能은 Maba의 實驗方法<sup>6)</sup>을 引用하여 sodium allyl  $\alpha$ -sulfo aliphatic carboxylate oligomer 類 5種에 대하여 0.1% 및 1.0% 水溶液 400ml에 分

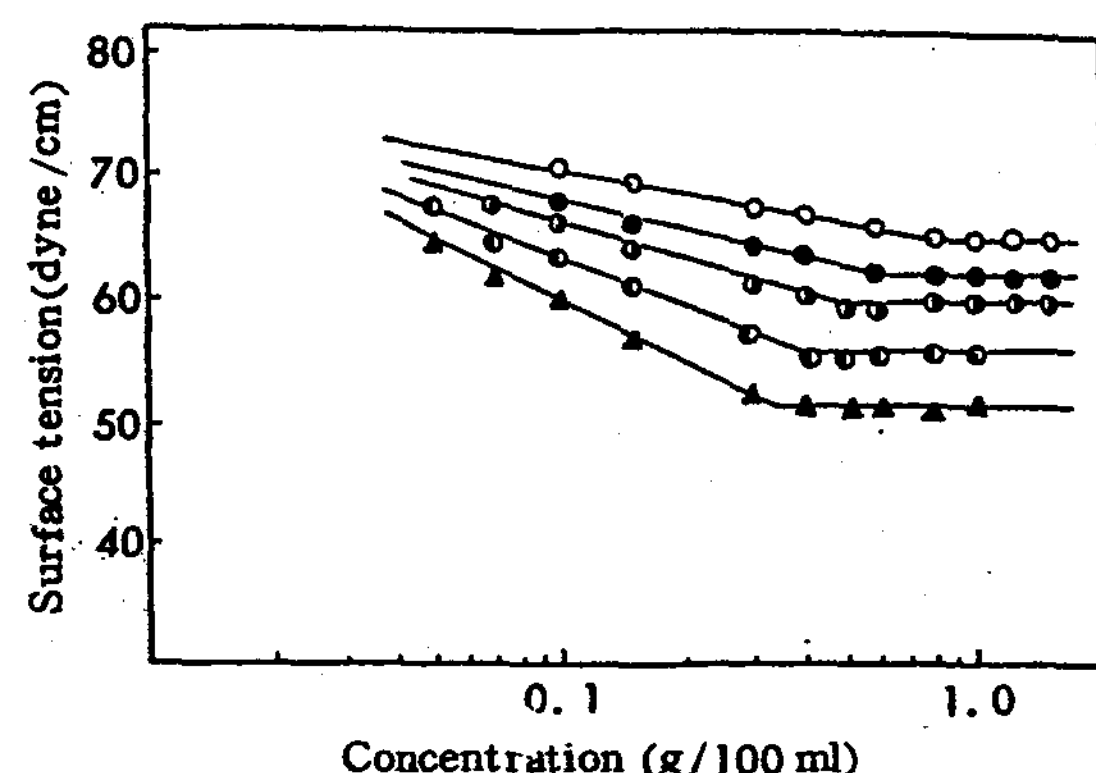


Fig. 1. Surface tension versus log concentration curves of sodium allyl  $\alpha$ -sulfo aliphatic carboxylate oligomers at 25°C

- : Sodium allyl  $\alpha$ -sulfo caprate oligomer
- : Sodium allyl  $\alpha$ -sulfo laurate oligomer
- ◐ : Sodium allyl  $\alpha$ -sulfo myristate oligomer
- ◑ : Sodium allyl  $\alpha$ -sulfo palmitate oligomer
- ▲ : Sodium allyl  $\alpha$ -sulfo stearate oligomer

散媒로 carbon black과 탄산칼슘 각각 10g씩을 混合하여 30分間 激烈하게 흔든 다음 25±0.2°C의 恒溫水槽안에 조용히 놓아두고 一定時間동안沈降되는量을 測定하였다.

이 結果는 Fig. 2와 3에 각各 圖示하였다.

### II-3. 乳化力의 測定

乳化力은 Kimura의 方法<sup>7)</sup>을 適用하여 植物性油인 大豆油와 石油에서 벤젠을 擇하여 각各 乳化力を 測定하였다. 즉 유리덮개로 密封할 수 있는 눈금이 새겨진 30cm길이의 메스실린더에 0.5%濃度水溶液 10ml를 取하고 여기에 大豆油 및 벤젠 等 乳化實驗液 100ml를 加하여 30分間 激烈하게 흔들어 乳化시키고 恒溫水槽안에서(25±0.2°C) 一定時間마다 乳化相의 부피에 대한 比率을 求하여 乳化力으로 表示하였다.

이 結果는 Fig. 4와 5에 圖示하였다.

## III. 界面活性의 試驗結果 및 考察

### III-1. 表面張力

물 속의 물分子는 分子間引力으로 热力學的으로 安定하고 에너지 準位가 낮은 凝集狀態를 이루고 있으

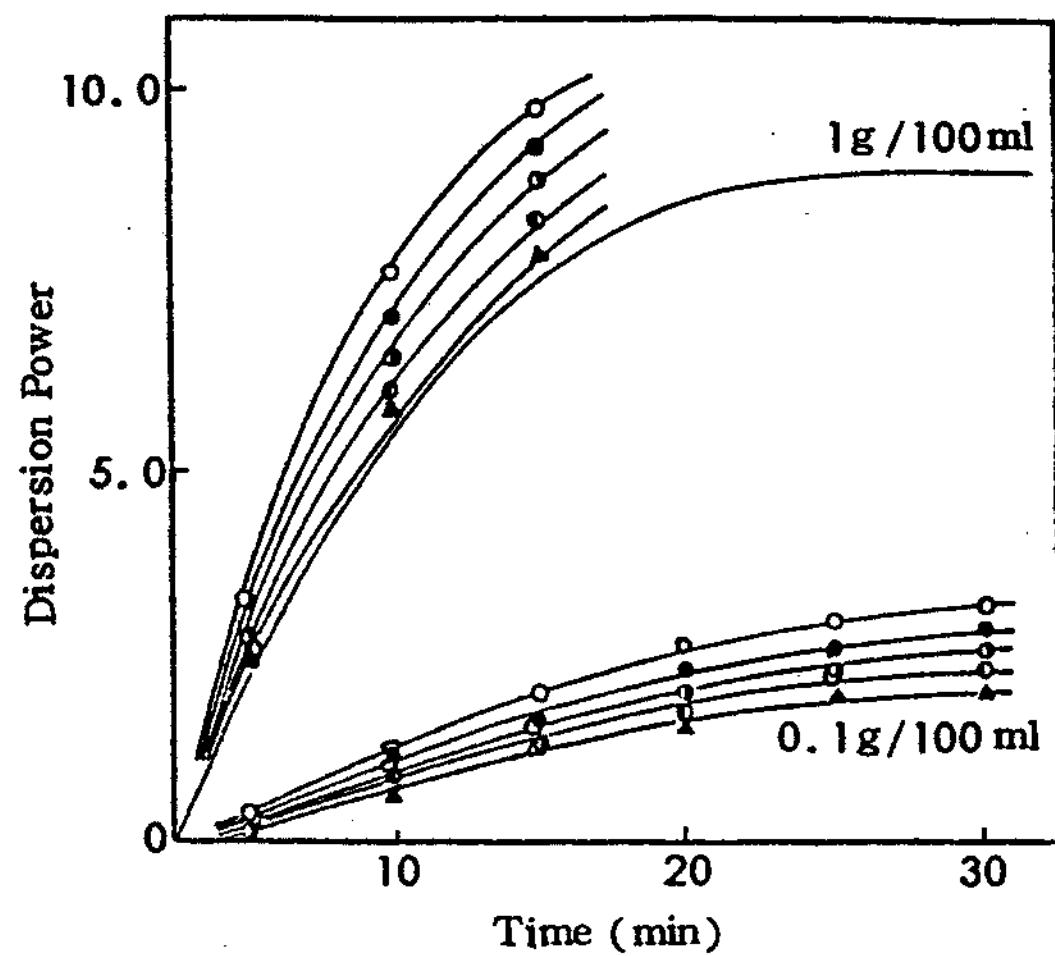


Fig. 2. Dispersion power of sodium allyl  $\alpha$ -sulfo aliphatic carboxylate oligomers for calcium carbonate at 25°C

- : Sodium allyl  $\alpha$ -sulfo caprate oligomer
- : Sodium allyl  $\alpha$ -sulfo laurate oligomer
- ◐ : Sodium allyl  $\alpha$ -sulfo myristate oligomer
- ◑ : Sodium allyl  $\alpha$ -sulfo palmitate oligomer
- ▲ : Sodium allyl  $\alpha$ -sulfo stearate oligomer

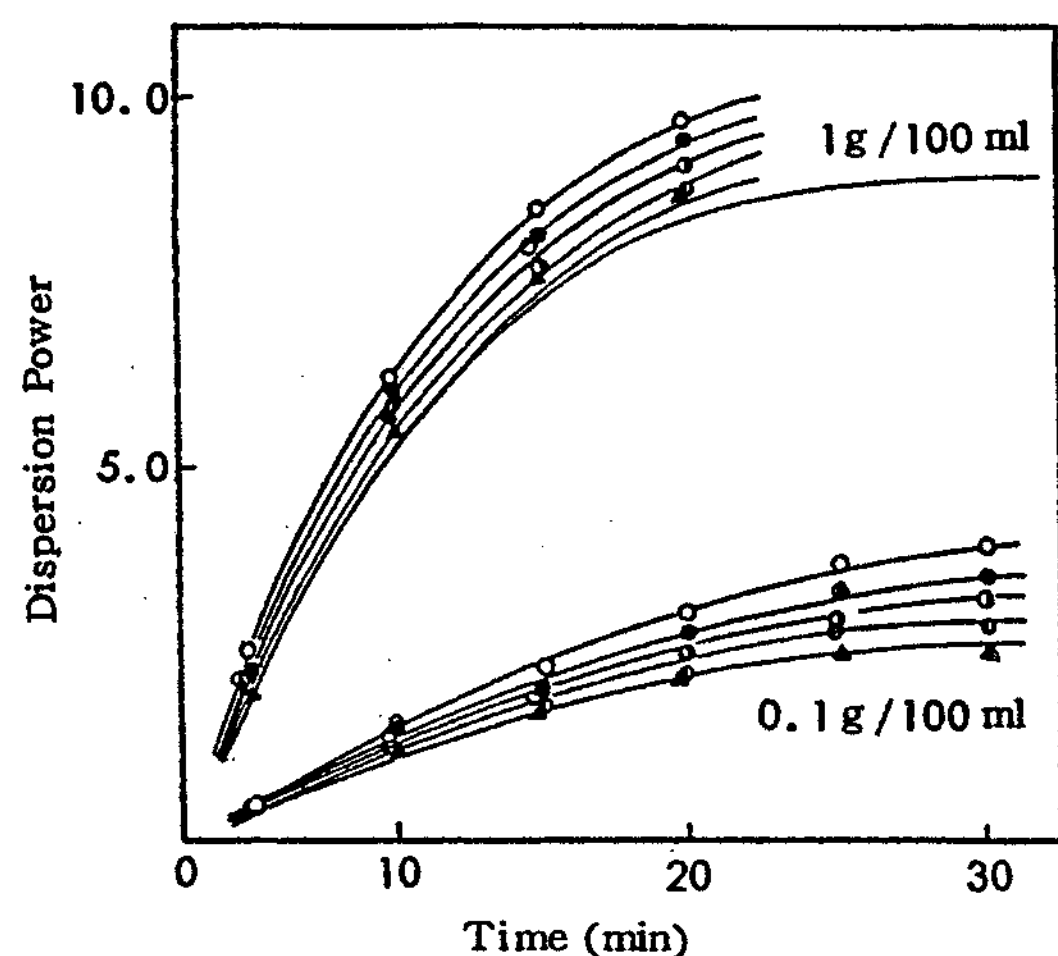


Fig. 3. Dispersion power of sodium allyl  $\alpha$ -sulfo aliphatic carboxylate oligomers for carbon black at 25°C

- : Sodium allyl  $\alpha$ -sulfo caprate oligomer
- : Sodium allyl  $\alpha$ -sulfo laurate oligomer
- ◐ : Sodium allyl  $\alpha$ -sulfo myristate oligomer
- ◑ : Sodium allyl  $\alpha$ -sulfo palmitate oligomer
- ▲ : Sodium allyl  $\alpha$ -sulfo stearate oligomer

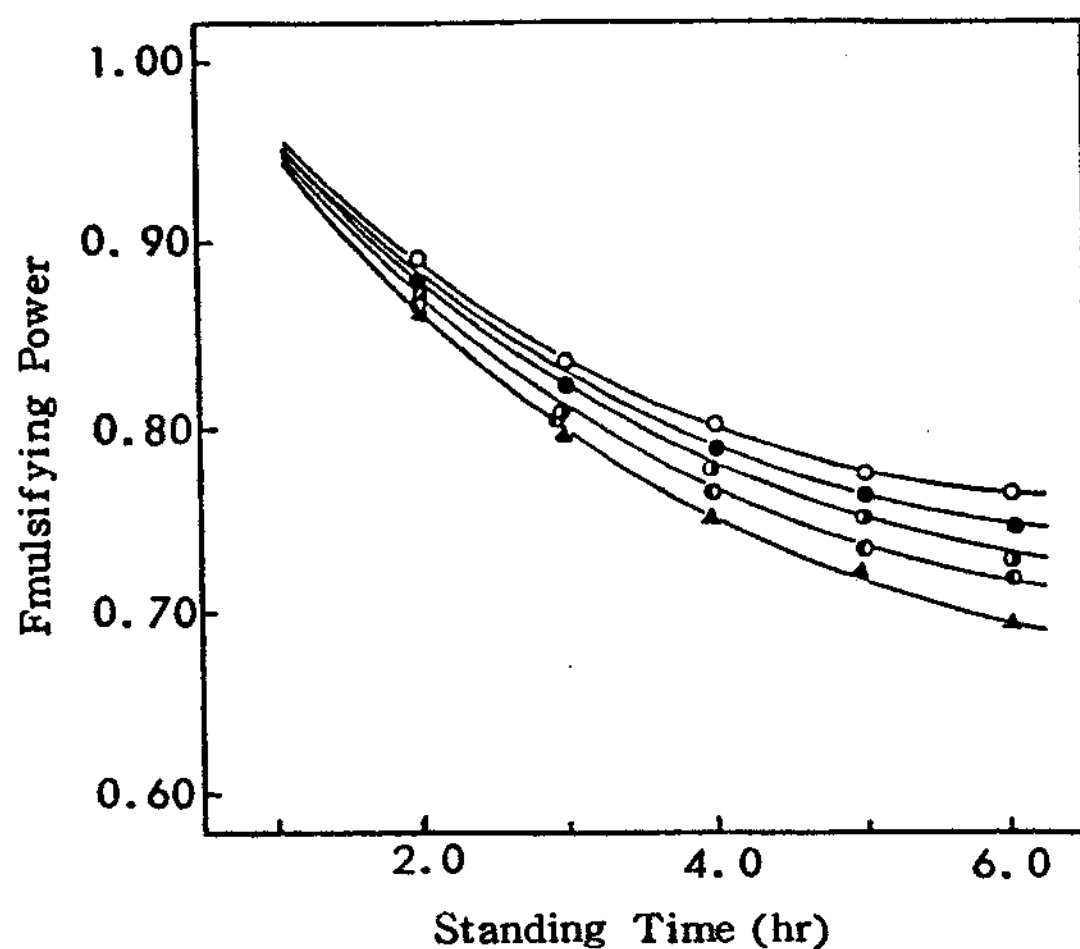


Fig. 4. Emulsifying power of sodium allyl  $\alpha$ -sulfo aliphatic carboxylate oligomers for benzene at 25°C

- : Sodium allyl  $\alpha$ -sulfo caprate oligomer
- : Sodium allyl  $\alpha$ -sulfo laurate oligomer
- ◐ : Sodium allyl  $\alpha$ -sulfo myristate oligomer
- ◑ : Sodium allyl  $\alpha$ -sulfo palmitate oligomer
- ▲ : Sodium allyl  $\alpha$ -sulfo stearate oligomer

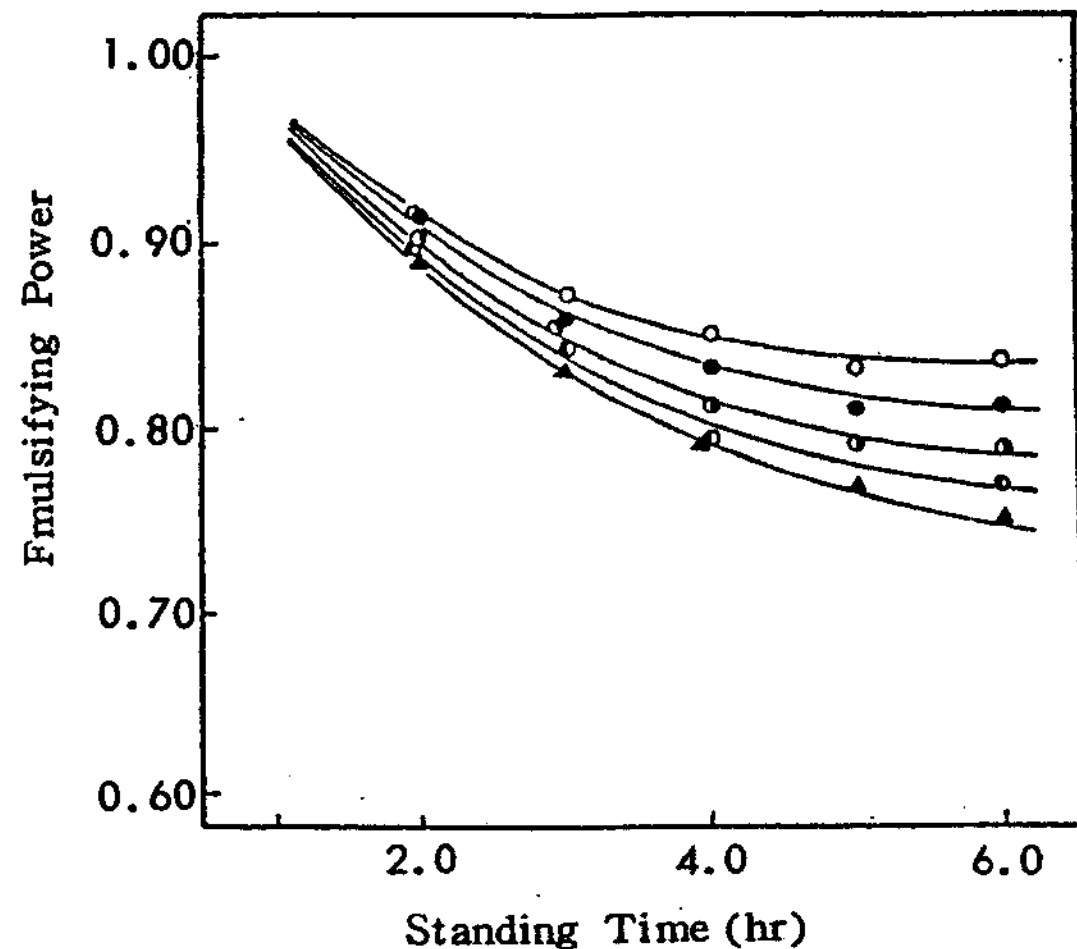


Fig. 5. Emulsifying power of sodium allyl  $\alpha$ -sulfo aliphatic carboxylate oligomers for soybean oil at 25°C

- : Sodium allyl  $\alpha$ -sulfo caprate oligomer
- : Sodium allyl  $\alpha$ -sulfo laurate oligomer
- ◐ : Sodium allyl  $\alpha$ -sulfo myristate oligomer
- ◑ : Sodium allyl  $\alpha$ -sulfo palmitate oligomer
- ▲ : Sodium allyl  $\alpha$ -sulfo stearate oligomer

나, 界面에서의 물분자는 大氣로부터 이러한 引力を 받지 못하므로 물속의 분자들 보다는 弱하게 拘束되어 있다고 생각할 수 있다. 따라서 에너지 準位가 比較的 높고 热力學的으로 不安定하므로 表面積을縮小시키려 한다. 이와 같은 現象이 表面張力으로 나타나는 것이다. 表面張力은 表面에서 分子間作用하는 凝集力의 크기라고 할 수 있다. 따라서 凝集力이 큰 物質은 表面張力도 크게 나타난다. 一般的으로 固體의 凝集力은 液體의 凝集力보다 크기 때문에 固體의 表面張力 다시 말하면 表面에너지도 크다. 물은 分子間水素結合으로 말미암아 凝集力이 크기 때문에 다른 液體와 比較하여 相對적으로 表面張力도 크다. 그러나 여기서 界面活性劑를 加하면 물 表面 즉 液體와 氣體間界面에 吸着하여 分子間의 親水性基는 물 方向으로 그리고 疏水性基는 大氣 方向으로 向하게 되므로 물 表面은 마치 界面活性劑와 같은 有機物溶液 表面처럼 되어 元來의 물 表面보다 表面張力가 減少한다. 表面張力의 测定은 一般的으로 JIS로 規定된 界面活性劑의 工業規格에 따른 滴下法을 널리 利用되어 왔지만 本 實驗에서는 一定濃度의 水溶液에 대하여 ring method法으로 一定溫度(25°C)에서 测定하였다. 순수한 물의 表面張力은 溫度에 따라 다르다. 즉 0°C에서 75.6 dyne/cm, 20°C에서 72.6 dyne/cm, 40°C에서 69.6 dyne/cm 및 100°C에서 58.9 dyne/cm<sup>8)</sup>이고 陰이온性 界面活性劑인 C<sub>10</sub>~C<sub>18</sub>範圍의 나트륨 α-술폰 脂肪酸 에틸에스테르의 0.1% 水溶液의 表面張力은 常溫에서 30~40dyne/cm이다. 本研究에서 合成한 5種의 나트륨 α-술폰 脂肪酸 알릴에스테르 올리고머의 表面張力を II-1의 方法으로 测定한 結果는 Fig. 1이다. 이 結果 대부분 55~65 dyne/cm를 나타내었다. 이는 親水性部分의 炭素數보다 5~8의 重合度를 갖는 올리고머의 特性을 나타내는 것으로 다른 一般的 界面活性劑보다 表面張力低下能이 떨어지지는 않았다.

### III-2. 臨界미셀濃度

界面活性劑의 水溶液은 어느 濃度範圍에서 粘度, 溶解度, 表面張力, 表面張力, 着는점 오름, 어는점 내림 및 蒸氣壓等 物理化學的 性質이 크게 變化한다.<sup>9)</sup> 이와 같은 變化로부터 미셀이 形成되는 臨界미셀濃度(Critical Micelle Concentration, CMC로 略함)

를 推定할 수 있다.

臨界미셀濃度의 测定에 關하여 여러가지 方法이 있다. 즉 可溶化法, 스펙트럼染料法, 擴散法, 浸透係數法, 電氣傳導法, 密度法, 粘度法, 表面張力法, 光散亂法, X線濾析法, 膜電位法 等이 있으며<sup>10,11)</sup> 이 중에서 测定 精度가 가장 좋은 方法은 光散亂法, 可溶化法 및 表面張力法이다. 本研究에서는 表面張力法을 適用하여 Fig. 5의 變曲點에서 测定하여 Table 1에 表示하였다. 미셀의 形成은 CMC와 密接하게 關係되나 臨界미셀濃度는 热力學的 舉動으로 여러 因子의 影響을 받는다. 즉, 一般的으로 界面活性劑의 界面活性이 크면 미셀은 쉽게 形成되고 CMC도 낮다. 그리고 Harkins의 主張<sup>12)</sup>에 의하면 미셀表面의 吸着이라고 보고 미셀크기가 一定하게 되는 것이 아니고 抵濃度로부터 점차 生盛되는 것이라 한다.

本研究에서 合成한 나트륨 α-술폰 脂肪酸 알릴에스테르 올리고머類의 CMC는 0.35g/100ml~0.75g/100ml濃度範圍이고 脂肪酸의 炭素數增加에 따라增加되는 現象을 가져왔다.

### III-3. 分散能

一般的으로 高分子界面活性劑는 濃度變化에 따라 그 舉動이 다르다. 低濃度에서는 分散粒子의 表面上에 吸着하여 粒子사이에 相互連結이 可能하여 凝集力이 作用하고 高濃度에서는 粒子表面을 올리고며가 둘러싸기 때문에 粒子사이에 立體障礙가 생기고 粒子사이에 會合에 의해 凝集이 防害받기 때문에 分散劑로서의 效果를 나타낸다.

水溶液中에서 疏水性의 固體粒子를 分散하는 경우 陰이온性 界面活性劑가 特히 效果가 있고 固體表面에 吸着配向하여 親水化하는 대로 分散粒子에 荷電을 일으켜 電氣二重層의 形成을 이루어 安定한 分散體를 얻게 된다.

顏料 等의 固體粒子의 分散性을 测定하는 간단한 方法으로는 沈降法이 있다. 一般的으로 分散法이 좋은 것은 沈降速度가 느리고 平衡에 이르면 沈降體積은 粒子가 細分되어 密着하여 堆積하는 것이 적게 된다. 本研究에서 分散媒가 碳酸칼슘인 경우에 Fig. 2에 카본블랙인 경우는 Fig. 3에 圖示하였다. 이들은 모두가 0.1g/100ml의 低濃度에서 뛰어난 凝集效

Table 1. Critical micelle concentration of sodium allyl  $\alpha$ -sulfo aliphatic carboxylate oligomers

Comp'd	CMC(g/100ml)	$I_{cmc}$ (dyne/cm)
Cs	0.75	65
Ls	0.55	62
Ms	0.48	60
Ps	0.40	56
Ss	0.35	52

Compound:

Cs : Sodium allyl  $\alpha$ -sulfo caprate oligomer  
 Ls : Sodium allyl  $\alpha$ -sulfo laurate oligomer  
 Ms : Sodium allyl  $\alpha$ -sulfo myristate oligomer  
 Ps : Sodium allyl  $\alpha$ -sulfo palmitate oligomer  
 Ss : Sodium allyl  $\alpha$ -sulfo stearate oligomer

果에 의해沈降速度가 상당히 빠름을 보여주고 있으며 1g/100ml 보다高濃度의 경우는分散粒子 사이에會合에 의해 우수한分散效果를 나타내고 있음은義治의研究<sup>14</sup>와 잘一致한다.

이實驗에서 나타난凝聚作用과分散作用은陰이 온性高分子界面活性剤가 갖는注目할 만한特性이다. 또한低濃度에서는一般的으로凝聚性이 커서多分子層吸着으로 말미암아疎水性을 갖는 것으로 본다.

一般的으로粉體의沈降速度는 이른바 Stoke의法則에支配되며分散能力이 있는界面活性剤는分散表面에吸着된다. 이것은界面活性剤가分散粒子의周圍에溶媒和層을形成하여分散作用을 나타내는 것이라생각되기 때문이다. 그리고高濃度에서의良好한分散性은飽和吸着을 나타내어Langmuir型吸着等溫線이얻어짐을 알았다.

### III-4. 에멀션의安定度

分散相을 그것과混合되지 않는連續相內에微細한粒狀으로分散시키는 것이乳化現象이며 여기서生成된分散系가에멀션(emulsion)이다. 에멀션에대한Alexander의主張<sup>15</sup>에의하면 서로混合되지 않는 두液相의한쪽을 다른相에分散시키면 두液相의界面의面積이커지므로系는熱力學的으로不安定하게된다. 따라서이系를安定화시키기 위하여는두液相에 대하여各各親和性이 있는ラ디칼을分子內에共有하고系의安定性을높이는作用을하는第

三의成分을添加할必要가있으며 이것이乳化剤(emulsifier)이다. 따라서에멀션은分散相,連續性 및乳化剤等으로 이루어진系이다.

連續相이水相인경우에는O/W型에멀션, 그리고油相인경우에는W/O型에멀션이되며 이러한型態를支配하는要因은물과기름의容積比, 溫度 및乳化過程에있어서의機械的operation, 乳化容器壁의물 또는기름에대한性質그리고특히乳化剤의種類이다.一般的으로乳化剤가많이溶解하는液相이連續相이되기쉽다는Bancroft規則<sup>16</sup>이잘알려져있다. 에멀션은液體가分裂하여微細한液滴이되는過程과이液滴이再結合하여元來의液體로되돌아가는過程等두가지競爭過程의均衡으로이루어진다.<sup>17</sup>分裂은빠른過程이고再結合즉凝聚過程은느린process이므로分裂過程에서는攪拌機의種類,攪拌速度粘度等動的性質이작용하고凝聚過程에서는乳化剤의種類및濃度等의平衡的性質이작용한다. 그리고界面化學的性質等이各各乳化에있어서重要하게關與한다. 또한에멀션의安定性은分散相과連續相의相分離가일어나는時間を測定하여評價할수있다.

本研究에서5種의나트륨 $\alpha$ -sulfo脂肪酸알릴에스테르올리고머類에 대하여2-3의方法에의하여一定濃度의水溶液을連溶液을連續相으로하고有機溶媒인ベン젠과植物性기름인大豆油를分散相으로하여에멀션形成과相對的인安定度를測定하여 그結果를Fig. 4와5에各各圖示하였다. Fig.에서보는바와같이이高分子界面活性剤의水溶液은매우優秀한乳化力を갖고있음을알수있고安定한에멀션을形成할수있기때문에여러用途의乳化剤로서價值있는利用이期待된다.

이化合物들의乳化力은疎水性部分의炭素數增加에따라乳化力이떨어지는傾向을나타내었고또한식물성기름인大豆油가有機溶媒인벤젠보다良好하게觀察되었으며전반적으로乳化倾向은重合度가없는單分子形界面活性剤보다優秀한O/W型乳化剤임을보여주고있다.

### IV. 結論

炭素數12~18인 sodium  $\alpha$ -sulfo aliphatic allyl ester oligomer類5種의臨界미셀濃度(CMC)

는  $0.35\text{ g}/100\text{ ml} \sim 0.75\text{ g}/100\text{ ml}$  濃度範圍였고 表面張力 低下能  $55 \sim 56\text{ dyne/cm}$ 이다.

특히  $0.1\text{ g}/100\text{ ml}$  的 低濃度에서는 凝集力이 좋았고  $1\text{ g}/100\text{ ml}$  高濃度에서는 分散性이 뛰어나 安定한 에멀션을 얻을 수 있었다. 粉體의 沈降速度는 이른 바 stoke의 法則에 支配되며 分散能力이 있는 界面活性劑는 低濃度에서는 分散表面에 吸着되어 일어나는 것이고 高濃度에서는 分散粒子의 表面에서 會合에 의하여 일어남을 確認하였고 大豆油나 벤젠에서 O/W型 乳化劑로 良好한 結果를 나타내었다.

## 文 獻

1. M. J. Schick, F. M. Fowkes: "Surfactant Science Series", Vol. I—Vol. II, Marcel Dekker, Inc., New York and Basel (1980)
2. 李學教, 朴英緒: "界面活性劑工業의 現況과 技術開發動向", 產業研究員(1986)  
孫周煥, 蘇富永: "界面活性劑의 研究開發 및 技術開發動向", 대한화학회지 투고중, (1989)
3. U. P. Strauss, H. L. Jorgenson, *J. Phys. Chem.*, **65**, 1873 (1961)
4. R. G. Bistline et al., *J. Amer. Oil Chem. Soc.*, **33**, 44 (1956)

5. 谷崎義治, 油化學, **34**(11), 973 (1985)
6. 馬場, 立木, 前田, 工化, **67**, 2077 (1964)
7. 高橋, 大橋, 桑村, 油化學, **24**, 43 (1975)
8. International Critical Tables, **4**, 432 (1928)
9. W. M. Linfield, *Surfactant Science Series*, **7**, 470, Nonionic Surfactant, Marcel Dekker Inc., New York and Basel (1976)
11. N. Sata and K. Kyuzyo: *Bull. Chem. Soc. Japan*, **26**, 177 (1953)
12. K. A. Wright, A. D. Abbott, V. Siverts and H. V. Tartar, *J. Amer. Chem. Soc.* **61**, 549 (1939), M. L. Carrin and W. D. Harkins, *J. Amer. Chem. Soc.*, **69**, 679 (1947), S. H. Herfield: *J. Phys. Chem.*, **56**, 953 (1952)
13. W. D. Harkins, *J. Chem. Phys.*, **15**, 763 (1947)
14. 谷崎義治, 油化學, **34**(11), 9 (1985)
15. J. Alexander: *Colloid Chemistry*, p. 102 Reinhold Publisher's Corp., New York, U.S.A. (1924)
16. W. D. Bancroft, *J. Phys. Chem.*, **17**, 501 (1913)
17. P. Shermann, *Emulsion Science*, Academic Press, New York, U.S.A. (1968)